



4-65

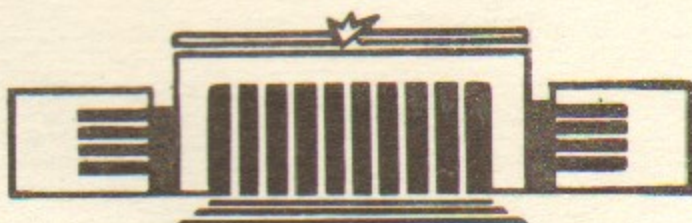
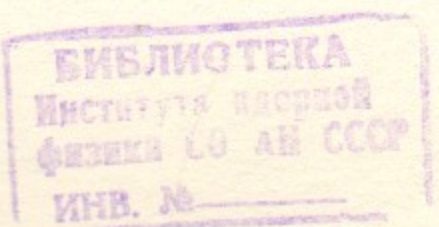
ИНСТИТУТ ЯДЕРНОЙ ФИЗИКИ СО АН СССР

4

Б.В.Чириков

УСТОЙЧИВОСТЬ ДВИЖЕНИЯ ЧАСТИЦ
В ЛОВУШКЕ
СО ВСТРЕЧНЫМИ ПРОБКАМИ

ПРЕПРИНТ 85-86



НОВОСИБИРСК

ЧИСЛЕННЫЕ МОДЕЛИ ДВИЖЕНИЯ ЧАСТИЦЫ

С.И.ЧИРИКОВ

ДИФФУЗИОННЫЕ МОДЕЛИ СОСТОЯНИЙ

С.И.ЧИРИКОВ

В работе исследована численная модель плоской ловушки с встречными пробками с помощью метода конформного отображения. Показано, что модель имеет две различные зоны (каспы) устойчивого движения частиц, определяемые границами глобального хаоса.

УСТОЙЧИВОСТЬ ДВИЖЕНИЯ ЧАСТИЦ В ЛОВУШКЕ СО ВСТРЕЧНЫМИ ПРОБКАМИ

Чириков Б.В.

Институт ядерной физики, 630090, Новосибирск-90

АННОТАЦИЯ

Рассмотрена динамика заряженной частицы в плоской модели ловушки со встречными пробками (касп) с произвольным углом поворота магнитных линий. Найдены приближенные выражения для границы глобального хаоса, которая определяет рабочую область ловушки. На основе этой модельной задачи получены аналогичные оценки для аксиально-симметричной конической ловушки со встречными пробками.

Помимо числовой реализации теории Рено (Рено, см. книгу, 1971), на рис. 1 показаны одни из первых схематических изображений хаоса в ловушке. Красные симметрично расположенные фигуры для различных состояний получены методом Ч-Г-Э-Л (см. 1972, Барышев, 1972), все четыре схемы получены путем собственных вычислений.

Математическое описание основано на методе конформного отображения (см. книгу, 1971).

$$d\zeta/d\tau = C^{-1}, \quad z = \zeta e^{i\varphi}$$

здесь ζ — комплексный и вещественный координаты, соответственно, а C — некоторое комплексное постоянное. Уравнение

журналей

1981

В рамках общей концепции амбиполярной ловушки /1,2/ в последнее время рассматриваются различные варианты стабилизации плазмы с помощью дополнительных аксиально-симметричных концевых ловушек со встречными пробками (касп) /3-5/. При этом возникает важная задача об условиях развития стохастической неустойчивости (хаоса) колебаний частиц, которая определяет область их удержания. Эта задача рассматривалась в обзоре /6/ в качестве одного из примеров применения общей теории динамического хаоса в магнитных ловушках. Настоящая статья является развитием этой части работы /6/ в направлении более сложной конфигурации магнитного поля ловушки и уточнения оценок для границы хаоса. Наиболее подробные расчеты проведены для плоской модели ловушки с произвольным углом поворота магнитных линий (§ I). В § 3 эти результаты используются для получения некоторых оценок в более реалистической модели "конической" ловушки, предложенной Димовым. Общая схема расчета подробно описана в /6/. Ниже мы используем те же основные понятия и величины.

§ I. Плоская магнитная ловушка со встречными пробками

Геометрия магнитного поля рассматриваемой модели представлена схематически на рис. I. Параметром модели является угол поворота магнитной линии χ или связанная с ним величина

$$\gamma = \frac{\pi}{\pi - \chi} \quad (I.1)$$

Обычно эта модель рассматривается для $\chi = \pi/2$ ($\gamma = 2$, см., например, /6/). На рис. I показан один из четырех секторов поля, ограниченный двумя жирными прямыми. Поле симметрично относительно оси x . Два дополнительных сектора получаются заменой $\chi \rightarrow \pi - \chi$; $\gamma \rightarrow \pi/\chi$. При $\chi = \pi/2$ все четыре сектора поля симметричны между собой.

Магнитное поле описывается комплексным потенциалом (см., например, /7/):

$$W(z) = |W| e^{iw} = \psi + iA = C z^\gamma; \quad z = x + iy = r e^{i\varphi} \quad (I.2)$$

где ψ , A — скалярный и векторный потенциалы поля, соответственно, а C — некоторая действительная постоянная. Уравнение

магнитной линии: $A = \text{const}$, или

$$\frac{A}{C} = \frac{|W|}{C} \sin \omega = r^\gamma \sin(\gamma\varphi) = r_0^\gamma = \frac{A_0}{C} \quad (\text{I.3})$$

где r_0 - минимальное расстояние до магнитной линии, которое может служить параметром линии. Граница сектора на рис. I соответствует $\sin(\gamma\varphi) = 0$ ($r \rightarrow \infty$), т.е. $\varphi = 0$ и $\varphi = \pi/\gamma = \pi - \chi$.

Комплексный потенциал $W(z)$ (I.2) осуществляет конформное отображение плоскости (x, y) на плоскость (ψ, A) , "выпрямляя" магнитные линии ($\chi \rightarrow 0$; $\gamma \rightarrow 1$). Вектор напряженности поля

$$B = \left(\frac{dW}{dz} \right)^* = \gamma C (z^*)^{\gamma-1} = \gamma C r^{\gamma-1} e^{-i\varphi(\gamma-1)} = |B| e^{i\sigma} \quad (\text{I.4})$$

В точке $r = r_0$; $\varphi = \varphi_0 = (\pi - \chi)/2$ ($\sin(\gamma\varphi) = 1$) напряженность $|B| = B_0$ минимальна, откуда $C = B_0 / \gamma r_0^{\gamma-1}$. При $r \rightarrow \infty$ направление вектора B принимает значения $\sigma = 0; -\chi$.

Координата вдоль магнитной линии равна

$$s = \int_{r_0}^r \frac{dr'}{\cos(\gamma\varphi)} = r_0 \int_{\varphi_0}^{\varphi} \frac{d\varphi'}{[\sin(\gamma\varphi')]^{1+1/\gamma}} = \frac{r_0}{\gamma} \int_0^{\xi} \frac{d\xi'}{R(\xi')} =$$

$$= \begin{cases} \frac{r_0}{\gamma} \vartheta \left(1 + \frac{\gamma+1}{6\gamma} \vartheta^2 \right); & |s| \ll r_0 \\ r; & |s| \gg r_0 \end{cases} \quad (\text{I.5})$$

Здесь $\xi = \varphi/A_0$; $\vartheta = \gamma\varphi - \pi/2$, а "пробочное отношение"

$$R(s) = \frac{|B|}{B_0} = \left(\frac{r}{r_0} \right)^{\gamma-1} = \begin{cases} 1 + \frac{\gamma(\gamma-1)}{2} \frac{s^2}{r_0^2} - \frac{\gamma^2(\gamma-1)(7-\gamma)}{24} \frac{s^4}{r_0^4}; & |s| \ll r_0 \\ \left(\frac{|s|}{r_0} \right)^{\gamma-1}; & |s| \gg r_0 \end{cases} \quad (\text{I.6})$$

определяет конфигурацию поля и продольную динамику частицы, которая описывается гамильтонианом (в приближении $\mu = \text{const}$ и в системе единиц $e = m = c = 1$):

$$H^0 = \frac{p^2}{2} + \mu \omega_0 R(s) = \frac{v^2}{2} = \text{const} \quad (\text{I.7})$$

где $p = \dot{s}$; $\omega_0 = B_0$; $\mu = \frac{H^0}{\omega_0} \sin^2 \beta_0$ и β_0 - угол наклона вектора скорости к магнитной линии в минимуме поля. Если сделать теперь замену времени $t \rightarrow \lambda t$, то $p \rightarrow p/\lambda$; $H^0 \rightarrow \lambda^2 H^0$. Выбрав $\lambda^2 = 2/v^2$, получим

$$H^0 = \frac{p^2}{2} + P_0^2 R(s) = 1 \quad (\text{I.8})$$

где $P_0 = \sin \beta_0 > 0$.

Частота продольных колебаний $\Omega(P_0)$ находится из соотношения

$$\frac{1}{\Omega} = \frac{\sqrt{2}}{\pi \sqrt{H^0}} \int_0^a \frac{ds}{\sqrt{1 - \frac{R(s)}{R(a)}}} = \frac{\sqrt{2}a}{\pi} \int_0^1 \frac{da}{\sqrt{1 - \frac{R(da)}{R(a)}}} \quad (\text{I.9})$$

где амплитуда колебаний a определяется из уравнения $P_0^2 R(a) = 1$.

Рассмотрим сначала случай большой амплитуды колебаний: $a \gg r_0$; $P_0^2 = (r_0/a)^{\gamma-1} \ll 1$. Тогда

$$\frac{1}{\Omega} = \frac{\sqrt{2}a}{\pi} \int_0^1 \frac{da}{\sqrt{1 - a^{\gamma-1}}} = \frac{\sqrt{2}a}{\pi} I(\gamma) \quad (\text{I.10})$$

Интеграл

$$I(\gamma) = \frac{1}{\gamma-1} B\left(\frac{1}{\gamma-1}, \frac{1}{2}\right) = \sqrt{\pi} \frac{\Gamma(1 + \frac{1}{\gamma-1})}{\Gamma(\frac{1}{2} + \frac{1}{\gamma-1})} \approx \sqrt{\frac{\pi}{\gamma-1}} \quad (\text{I.11})$$

где $B(x, y)$ обозначает бета-функцию, а последнее приближенное выражение справедливо в интервале $1 < \gamma \leq 2$. Например, $I(2) = 2$; $I(3/2) = 8/3$ и т.д.

Используя соотношения

$$\Omega(H^o, \mu) = \partial H^o(\gamma, \mu) / \partial \gamma$$

$$\langle \omega \rangle = \frac{\partial H^o(\gamma, \mu)}{\partial \mu} = - \frac{(\partial \gamma / \partial \mu)_{H^o}}{(\partial \gamma / \partial H^o)_\mu} = - \Omega \int dH^o \frac{\partial}{\partial \mu} \left(\frac{1}{\Omega} \right)$$

где γ - продольное действие, а $\langle \omega \rangle$ - среднее значение лармировской частоты, и учитывая, что $P_o^2 = \mu \omega_o / H^o$ и

$$\Omega \propto \mu^{\frac{1}{\gamma-1}} (H^o)^{\frac{\gamma-3}{2(\gamma-1)}}$$

получим

$$\langle \omega \rangle = \frac{2H^o}{\mu(\gamma+1)} = \frac{2\omega_o}{(\gamma+1)P_o^2} \quad (I.12)$$

Отсюда функция

$$G(P_o) = \frac{\pi \langle \omega \rangle}{\Omega} = \frac{2\sqrt{2}}{\gamma+1} I(\gamma) \omega_o r_o P_o^{-\frac{2\gamma}{\gamma-1}} \quad (I.13)$$

Она дает сдвиг лармировской фазы на полупериоде продольных колебаний и входит в условие глобальной устойчивости (см. (I.21) ниже).

Найдем теперь резонансное изменение магнитного момента ΔM (или ΔP_o) на полупериоде продольных колебаний. Согласно /6/ (см. также /8, 9/):

$$\Delta P_o = \frac{\sqrt{2}}{\omega_o} \operatorname{Im} \int d\theta e^{i\theta} \frac{x}{R^{3/2}} \quad (I.14)$$

где θ - лармировская фаза, и мы положим $V^2 = 2$ в соответствии с выбором переменной времени выше. Кривизну магнитной линии находим из (I.3):

$$x = -\frac{\gamma-1}{r_o} R^{-\frac{\gamma+1}{\gamma-1}} \quad (I.15)$$

В рассматриваемой модели она выражается через $R(s)$ и не имеет

других особенностей в комплексной плоскости s кроме точки ветвления $s = s_p$, где $R(s_p) = 0$. В этой точке $B(s_p) = 0$ и поэтому дополнительное слагаемое в подинтегральном выражении (I.14), пропорциональное $V_\perp^2(s_p) = 2\mu \omega(s_p) = 0$, не существенно (ср. /6/).

Для выбора наиболее удобной переменной интегрирования в (I.14) найдем значение лармировской фазы θ_p в особенности:

$$\theta_p = \int_0^{s_p} \frac{\omega(s) ds}{\dot{s}(s)} = \frac{\omega_o}{V} \int_0^{s_p} \frac{R(s) ds}{\sqrt{1 - \frac{R(s)}{R(0)}}} = \frac{\omega_o r_o}{V \sqrt{2}} \int_0^{\xi_p} \frac{d\xi'}{\sqrt{1 - \frac{R(\xi')}{R_0}}}$$

где $R_0 = R(0) = P_o^{-2}$. Поскольку

$$R(\xi) = (1 + \xi^2)^{\frac{2\gamma}{2\gamma-1}} = [(\xi+i)(\xi-i)]^{\frac{2\gamma}{2\gamma-1}}$$

то $\xi_p = i$ независимо от γ . При $\gamma \leq 2$ показатель $(\gamma-1)/2\gamma \leq 1/4$ и поэтому R существенно уменьшается лишь в малой окрестности ξ_p , так что в интеграле можно положить приближенно $R(\xi') \approx R(0) = 1$. Окончательно получаем

$$\theta_p \approx i \frac{\omega_o r_o}{\sqrt{2} V} \sqrt{\frac{R_0}{R_0 - 1}} \equiv i q_r \quad (I.16)$$

Согласно данным в /10/ это приближение можно использовать при $R_0 \gtrsim 4/3$.

Выберем теперь в качестве переменной интегрирования величину

$$-u = i(\theta - \theta_p) = i q_r (\xi - \xi_p) = \frac{2}{q_r} R^{\frac{2\gamma}{\gamma-1}} \quad (I.17)$$

Тогда интеграл (I.14) дает

$$\Delta P_o = -i \frac{\gamma-1}{2\gamma} \left(\frac{q_r}{2} \right)^{p-1} \sqrt{\frac{R_0}{R_0 - 1}} e^{-q_r} \sin \theta_o \cdot \int_C \frac{e^{-u} du}{(-u)^p} = \quad (I.18)$$

$$= \frac{\pi}{\Gamma(p)} \frac{\gamma-1}{\gamma} \left(\frac{q_y}{2}\right)^{p-1} \sqrt{\frac{R_o}{R_o-1}} e^{-q_y} \sin \theta_o$$

где контур C охватывает разрез от точки ветвления до бесконечности вдоль действительной оси переменной ω или вдоль мнимой оси величины $(\theta - \theta_p)$, а параметр

$$P = \frac{5\gamma-1}{4\gamma} = 1 + \frac{\gamma-1}{4\gamma} \quad (I.19)$$

Поскольку при $\gamma \leq 2$ показатель $(p-1) \leq 1/8$, то можно положить $(q_y/2)^{p-1} \approx 1$, а также $\Gamma(p) \approx 1$, и амплитуда ΔP_o равна

$$(\Delta P_o)_m = \pi \frac{\gamma-1}{\gamma} \frac{e^{-q_y}}{\sqrt{1-P_o^2}} \quad (I.20)$$

Отметим, что показатель экспоненты q_y (I.16), от которого, в основном, зависит изменение магнитного момента частицы, не равен отношению радиуса кривизны магнитной линии χ^{-1} (I.15) к лармировскому радиусу r_o . В частности, при $\gamma \rightarrow 1$ (однородное магнитное поле) $\chi \rightarrow 0$, тогда как q_y остается конечным (I.16). Этот простой пример показывает, что неадиабатичность движения частицы зависит от весьма деликатных аналитических свойств геометрии магнитного поля. Чтобы пояснить, в чем здесь дело, рассмотрим два поля

$$(a) R(s) = (1+s^2)^\varepsilon$$

$$(b) R(s) = 1 + \varepsilon s^2$$

которые почти совпадают при $s \rightarrow 0$. Тем не менее в первом случае (a) нуль поля в комплексной плоскости s , который и определяет показатель q , вообще не зависит от ε ($s_p = \pm i$), даже если $\varepsilon \rightarrow 0$ ($R(s) \rightarrow 1$), тогда как во втором случае (b) $s_p = i/\sqrt{\varepsilon}$ и $|s_p| \rightarrow \infty$ при $\varepsilon \rightarrow 0$.

Подчеркнем, что при получении выражения (I.20) условие $a \gg r_o$ никак не использовалось (оно нужно только для вычисления частот и функции $G(P_o)$). Поэтому величина P_o ограничена сверху только приближением, использованным в (I.16).

Граница глобального хаоса определяется стандартным параметром устойчивости /6/

$$K = (4P_o)_m \left| \frac{dG(P_o)}{dP_o} \right| = 8\pi \frac{\gamma I(\gamma)}{\gamma+1} q_y e^{-q_y} P_o^{-\frac{3\gamma-1}{\gamma-1}} \approx 1 \quad (I.21)$$

Последнее равенство и определяет неявно функцию $\Lambda(P_o)$ на границе, где

$$\Lambda = \frac{\omega_0 r_o}{\sqrt{2}} = \frac{r_o}{s_o} = \gamma N \quad (I.22)$$

(большой) параметр адиабатичности; $s_o = v/\omega_0$ – "полный" лармировский радиус на данной магнитной линии, а N – "полное число" лармировских радиусов вдоль линии минимумов поля от точки $B=0$ до магнитной линии ($dN/dr_o = 1/s_o$).

Границу хаоса можно представить также в виде:

$$q_y = \frac{N}{\sqrt{1-P_o^2}} = \frac{\Lambda}{\gamma \sqrt{1-P_o^2}} = \frac{3\gamma-1}{\gamma-1} \ln \frac{1}{P_o} + \ln \left[8\pi \frac{\gamma I(\gamma)}{\gamma+1} q_y \right] \quad (I.23)$$

При заданном $P_o (\ll 1)$ уменьшение Λ с γ в левой части последнего равенства почти компенсируется увеличением множителя $(3\gamma-1)/(\gamma-1)$.

Величина же N при этом только возрастает, что сужает область устойчивости при уменьшении γ , но расширяет ее при увеличении γ .

Рассмотрим теперь другую асимптотику: $a \ll r_o$ (I.6). В этом случае (см. /6/, $v^2 = 2$):

$$\begin{aligned} H^o(\gamma, 1) &= \mu \omega_0 + \gamma \sqrt{2\mu \omega_0}/L \\ \Omega &= \sqrt{2\mu \omega_0}/L = \sqrt{2} P_o/L \\ \langle \omega \rangle &= \frac{\omega_0}{2} (1 + P_o^{-2}) \\ G(P_o) &= \frac{\pi}{2\sqrt{2}} \angle \omega_0 (P_o^{-1} + P_o^{-3}) \end{aligned} \quad (I.24)$$

где $L^2 = 2r_o^2/\gamma(\gamma-1)$. Выражение же для ΔP_o остается прежним (I.20). Поэтому параметр устойчивости равен

$$K = \frac{3\pi^2}{\sqrt{2}} \sqrt{\frac{\gamma-1}{\gamma}} q_\gamma e^{-q_\gamma} \left(\frac{1}{P_0^4} + \frac{1}{3P_0^2} \right) \quad (I.25)$$

а границу хаоса можно представить в виде:

$$q_\gamma = \frac{N}{\sqrt{1-P_0^2}} = \frac{1}{\gamma \sqrt{1-P_0^2}} = 4 \ln \frac{1}{P_0} + \ln \left(1 + \frac{P_0^2}{3} \right) + \ln \left[3\pi^2 \sqrt{\frac{\gamma-1}{2\gamma}} q_\gamma \right] \quad (I.26)$$

В этом пределе N пропорционально γ , однако, N практически не зависит от γ .

§ 2. Некоторые уточнения

Границу хаоса (I.26) при $a \ll r_0$ можно несколько уточнить за счет учета ангармоничности продольных колебаний аналогично работе /10/ (§ 3). Из (I.6) находим параметр ангармоничности

$$\gamma = -\frac{7-\gamma}{6(\gamma-1)} \quad (2.1)$$

а из /10/ (исправив опечатку в формуле (3.6)):

$$\langle \omega \rangle = \frac{\omega_0}{2} \left[1 + P_0^{-2} + \frac{3\gamma}{4} (1 - P_0^{-2})^2 \right]$$

$$\Omega = \frac{\sqrt{\gamma(\gamma-1)}}{r_0} P_0 \left[1 - \frac{3\gamma}{4} (1 - P_0^{-2}) \right]$$

откуда

$$G(P_0) \approx \frac{\pi}{2\sqrt{\gamma(\gamma-1)}} \frac{\omega_0 r_0}{P_0} \left(1 + 3\gamma + \frac{1 - 3\gamma}{P_0^2} \right) \quad (2.2)$$

и уточненный параметр устойчивости (ср. (I.25)):

$$K = \frac{3\pi^2}{\sqrt{2}} \sqrt{\frac{\gamma-1}{\gamma}} q_\gamma e^{-q_\gamma} \left(\frac{1 - 3\gamma}{P_0^4} + \frac{1 + 3\gamma}{3P_0^2} \right) \quad (2.3)$$

При $a \gg r_0$ границу хаоса также можно уточнить, записав вместо (I.6)

$$R(s) \approx \left(\frac{|s|}{r_0} \right)^{\gamma-1} + \Delta(\gamma) \quad (2.4)$$

где, например,

$$\Delta(2) = \sqrt{2} E\left(\frac{1}{\sqrt{2}}\right) - \frac{1}{\sqrt{2}} K\left(\frac{1}{\sqrt{2}}\right) \approx 0.60 \quad (2.5)$$

а K, E – полные эллиптические интегралы (в [6] эта величина в формуле (3.34) вычислена неправильно).

Можно поступить и по другому: определить $\Delta(\gamma)$ из условия касания обеих асимптотик поля (I.6) в некоторой точке $s = s_1$. Имеем:

$$\gamma(\gamma-1) \frac{s_1}{r_0^2} \approx \frac{\gamma-1}{r_0} \left| \frac{s_1}{r_0} \right|^{\gamma-2}; \quad \left| \frac{s_1}{r_0} \right| \approx \gamma^{-\frac{1}{3-\gamma}}$$

откуда

$$\Delta(\gamma) \approx 1 + \frac{\gamma(\gamma-1)}{2} \left(\frac{s_1}{r_0} \right)^2 - \left| \frac{s_1}{r_0} \right|^{\gamma-1} = 1 - \frac{3-\gamma}{2} \gamma^{-\frac{\gamma-1}{3-\gamma}} \quad (2.6)$$

В частности, $\Delta(2) = 0.75$, что близко к (2.5).

Используя (2.4), получаем частоту продольных колебаний аналогично (I.10):

$$\begin{aligned} \frac{1}{\Omega} &= \frac{\sqrt{2}}{\pi} I(\gamma) \frac{r_0}{P_0} \left(\frac{1}{P_0^2} - \Delta \right)^{\frac{3-\gamma}{2(\gamma-1)}} = \\ &= \frac{\sqrt{2}}{\pi} I(\gamma) r_0 (\mu \omega_0)^{-\frac{1}{\gamma-1}} (H^0 - \mu \omega_0 \Delta)^{\frac{3-\gamma}{2(\gamma-1)}} \end{aligned} \quad (2.7)$$

Из второго выражения находим аналогично (I.12):

$$\langle \omega \rangle = \frac{2}{\gamma+1} \frac{H^0 - \mu \omega_0 \Delta}{\mu} + \omega_0 \Delta = \frac{2\omega_0}{(\gamma+1)P_0^2} + \frac{\gamma-1}{\gamma+1} \omega_0 \Delta \quad (2.8)$$

Отсюда

$$G(P_0) = \frac{\sqrt{2} I(\gamma)}{\gamma+1} \frac{r_0 \omega_0}{P_0} \left[\frac{2}{P_0^2} + (\gamma-1)\Delta \right] \left(\frac{1}{P_0^2} - \Delta \right)^{\frac{3-\gamma}{2(\gamma-1)}} \quad (2.9)$$

Это выражение имеет смысл при $P_0^2 \lesssim \gamma^{(\gamma-1)/(3-\gamma)}$
(см. (2.6)).

3. Коническая ловушка

В цилиндрической геометрии не удалось найти достаточно простую модельную конфигурацию поля с асимптотически наклонными магнитными линиями ("коническая" ловушка). Поэтому для грубых оценок используем результаты § I для плоской геометрии поля и особенности перехода к цилиндрической геометрии, выясненные в /6/. Качественно геометрия магнитного поля, по-прежнему, представляется схемой на рис. I, где ось X является теперь осью симметрии магнитного поля, y - радиальная координата, а χ - угол раствора конуса ловушки. Если разность $|\gamma-2|$ не слишком велика, то можно использовать соотношения § I со следующими изменениями (ср. /6/).

I) Конфигурация магнитного поля определяется теперь выражением (ср. (I.6)):

$$R(s) \approx \left(\frac{l}{l_0} \right)^{\gamma-1} \approx \begin{cases} \left| \frac{s}{l_0} \right|^{\gamma-1}; & s \rightarrow -\infty; \quad y \rightarrow \infty \\ 1 + \gamma(\gamma-1) \left(\frac{s}{l_0} \right)^2; & |s| \ll l_0 \\ 2 \left(\frac{s}{l_0} \right)^{\gamma-1}; & s \rightarrow +\infty; \quad y \rightarrow 0 \end{cases} \quad (3.1)$$

где $l^2 = (2x)^2 + y^2$; $2x_0, y_0$ - положение минимума поля, а численные коэффициенты выбраны таким образом, чтобы получились правильные выражения при $\gamma = 2$ /6/.

2) Асимметрия поля приводит к некоторому уменьшению критического значения параметра устойчивости

$$K_{kp} \approx \frac{2}{3} \quad (3.2)$$

определенного по первой ($s \rightarrow -\infty$) асимптотике (3.1) (при этом исправлена ошибка в ф-ле (I4.26) работы /6/, где должно быть $|K_0|_{kp} = 1/3$; $K_0 = K/2$).

3) В показателе экспоненты q_γ появляется дополнительный множитель $(2/3)$, так что вместо (I.16) имеем:

$$q_\gamma = \frac{\sqrt{2} \omega_0 l_0}{3\gamma \sqrt{1-P_0^2}} = \frac{2N}{3\sqrt{1-P_0^2}} \quad (3.3)$$

где $N = l_0/\gamma P_0 = 1/\gamma$ (ср. (I.22)).

В результате положение границы хаоса в конической ловушке может быть приближенно описано следующими соотношениями:

$$\frac{18\pi^{3/2}\gamma}{(\gamma+1)\sqrt{\gamma-1}} q_\gamma e^{-q_\gamma} \approx P_0^{\frac{3\gamma-1}{\gamma-1}} \quad (3.4)$$

при $P_0 \ll 1$ (ср. (I.21)), и

$$\frac{9\pi^2}{4} \sqrt{\frac{\gamma-1}{\gamma}} q_\gamma e^{-q_\gamma} \approx \frac{P_0^4}{1 + P_0^2/3} \quad (3.5)$$

при $P_0 \approx 1$ (ср. (I.25)).

Напомним, что при $1 - P_0 \ll 1$ полученные выражения становятся неприменимыми (см. (I.16)). С другой стороны, в цилиндрической геометрии невозможно задать начальные условия движения, соответствующие точно $P_0 = 1$ ($V_{||} = 0$) на всей ларморовской окружности. Это связано с тем, что в отличие от плоской геометрии, близкие магнитные линии теперь нигде не параллельны. Грубо, максимальный угол между магнитными линиями, проходящими через ларморовскую окружность и ее центр, можно оценить как $\operatorname{tg} \alpha_m \approx P_0/l_0 = 1/\gamma N$. Откуда максимальное значение угла β_0 определяется из $\operatorname{ctg} \beta_0 = \operatorname{tg} \alpha_m \approx 1/\gamma N$ и минимальное $R_0 = \sin^2 \beta_0$ есть

$$R_o^{(\min)} \approx 1 + \frac{1}{(gN)^2} \quad (3.6)$$

Следует также отметить, что в области глобального хаоса ($K > K_{cr}$) вблизи его границы хаотическая компонента занимает только около 50% фазового объема [9]. Даже при $K = 2K_{cr}$ области устойчивости (удержания частиц) составляют все еще около 20%. Помимо этого скорость диффузии в этой области резко падает пропорционально $(K - K_{cr})^3$ [11].

В заключение можно сказать, что предложенная Димовым коническая ловушка со встречными пробками действительно содержит некоторые новые возможности оптимизации удержания частиц и стабилизации плазмы в амбиополярной ловушке.

Пользуясь случаем выразить искреннюю признательность Г.И.Димову, Д.А.Панову и Д.Д.Рытову за интересные обсуждения.

ЛИТЕРАТУРА:

- I. Г.И.Димов, В.В.Закайдаков, М.Е.Кишневский. Физика плазмы 2 (1976) 597.
2. Т.К.Fowler, B.G.Logan, Comm. Plasma Phys. Contr. Fusion 2 (1977) 167.
3. B.G.Logan, ibid, 6 (1981) 199.
4. В.В.Арсенин. Физика плазмы 8 (1982) 484.
5. Г.И.Димов. Аксиально-симметрическая амбиополярная ловушка. Препринт ИЯФ 82-150, Новосибирск, 1982.
6. Б.В.Чириков. Динамика частиц в магнитных ловушках. Сб. Вопросы теории плазмы. Ред. Б.Б.Кадомцев. М.: Энергоатомиздат, 1984, вып.13, с.3.
7. М.А.Лаврентьев, Б.В.Шабат. Методы теории функций комплексного переменного. М.: Физматгиз, 1958.
8. R.H.Cohen, G.Rowlands, J.H.Foote, Phys. Fluids 21 (1978) 627.
9. B.V.Chirikov, Phys. Reports 52 (1979) 263.
10. Б.В.Чириков. Физика плазмы 4 (1978) 521.
- II. Б.В.Чириков, Д.Л.Шепелянский. Докализация динамического хаоса в простых квантовых системах. Препринт ИЯФ 85-29, Новосибирск, 1985.

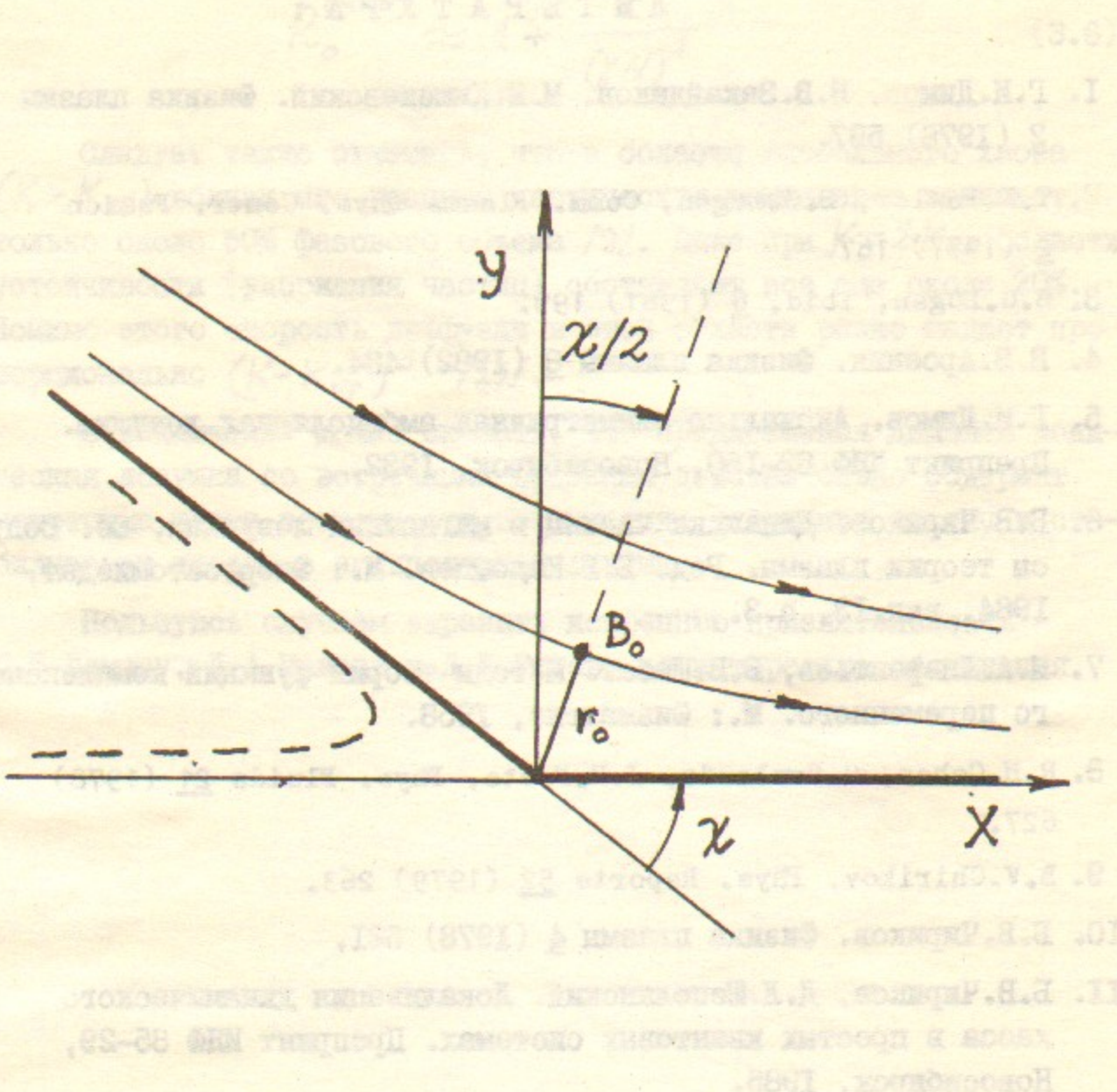


Рис. I. Геометрия магнитного поля одного из четырех секторов плоской ловушки: χ - угол поворота магнитных линий (сплошные кривые), связанный с параметром ловушки $\gamma = \pi/(\pi - \chi)$; r_0 - расстояние до минимума магнитного поля $B_0 = C\gamma r_0^{\delta-1}$ на данной линии. Пунктирная прямая - линия минимумов. Пунктирная кривая - магнитная линия в дополнительном секторе ловушки.

Б.В.Чириков

УСТОЙЧИВОСТЬ ДВИЖЕНИЯ ЧАСТИЦ В ЛОВУШКЕ
СО ВСТРЕЧНЫМИ ПРОБКАМИ

Препринт
№ 85-86

Работа поступила - 17 июня 1985 г.

Ответственный за выпуск - С.Г.Попов
Подписано к печати 9.07-1985 г. МН 05822
Формат бумаги 60x90 I/16 Усл. I,3 печ.л., I,0 учетно-изд.л
Тираж 290 экз. Бесплатно. Заказ № 86.

Ротапринт ИЯФ СО АН СССР, г.Новосибирск, 90